

## Measurement of Carbon Ion Temperature in Tokamak IR-T1 Plasma Using Passive Spectroscopy<sup>1</sup>

Majid Fallah<sup>2</sup>, Mohammad Mahdavi<sup>\*3</sup>,  
Mahmoud Ghoranneviss<sup>4</sup>, Sakineh Meshkani<sup>5</sup>

Received: 2019.11.22

Accepted: 2020.01.25

### Abstract

The study of ionic impurities present in tokamak plasma is an essential tool for studying plasma behavior and determining its various parameters such as temperature, electron density and plasma flow rate. For this purpose, high resolution optical spectroscopy system was installed on the Tokamak IR-T1 to measure the carbon-ion impurity temperature in the plasma. By processing the emission spectral lines recorded by the spectrometer, the location of the spectral line corresponding to the carbon impurity is estimated, and the effective width of the carbon spectral line is determined by matching a Gaussian function to the experimental data. Given the effective width of the carbon spectrum line, its doppler broadening and consequently the carbon ionic impurity temperature are calculated. Carbon CIII ion temperature is obtained about  $18.1 \pm 0.6$  eV. The experimental impurity temperature is comparable to the results of ISTTOK and COMPASS tokamaks.

**Keywords:** *Passive Spectrometry, Broadening, Ion Temperature, Tokamak, Impurity.*

**PACS number:** 52.55. Fa, 52.55.-s, 52.25. Vy, 52.25. Xz, 52.25Os.

---

<sup>1</sup> DOI: 10.22051/jap.2020.29378.1142

<sup>2</sup> PhD Student, Department of Nuclear Physics, Faculty of Basic sciences, University of Mazandaran, Mazandaran, Iran. Email: maj\_121@yahoo.com

<sup>3</sup> Professor, Department of Nuclear Physics, Faculty of Basic sciences, University of Mazandaran, Mazandaran, Iran. (Corresponding Author). Email: m.mahdavi@umz.ac.ir

<sup>4</sup> Professor, Plasma Physics Research Center, Science & research Branch, Islamic Azad University, Tehran, Iran. Email: ghoranneviss@gamail.com

<sup>5</sup> Assistant Professor, Plasma Physics Research Center, Science & research Branch, Islamic Azad University, Tehran, Iran. Email: s.meshkani@gmail.com

## مقاله پژوهشی

# اندازه‌گیری دمای یونی کربن درون پلاسمای توکامک IR-T1 با استفاده از بیناب‌سنجدی غیرفعال<sup>۱</sup>

مجید فلاح<sup>۲</sup>، محمد مهدوی<sup>\*</sup><sup>۳</sup>، محمود قرآن‌نویس<sup>۴</sup>، سکینه مشکانی<sup>۵</sup>

تاریخ دریافت: ۱۳۹۸/۰۹/۰۱

تاریخ پذیرش: ۱۳۹۸/۱۱/۰۵

### چکیده

مطالعه ناخالصی‌های یونی موجود در پلاسمای توکامک، ابزاری اساسی جهت بررسی رفتار پلاسما و تعیین پارامترهای مختلف آن از قبیل دما، چگالی الکترونی و سرعت شارش پلاسماست. بدین منظور، یک سیستم بیناب‌سنجدی نور مرئی با توان تفکیک عالی برای اندازه‌گیری دمای ناخالصی یونی کربن درون پلاسما روی توکامک IR-T1 نصب شده است. با پردازش خطوط بینابی گسیلی ثبت‌شده توسط بیناب‌سنجد، مکان خط بینابی مربوط به ناخالصی کربن برآورد شده است. با اعمال برازش و بهنجارش بر خط بینابی و انتطاق تابع توزیع گاووسی

<sup>۱</sup> DOI: 10.22051/jap.2020.29378.1142

<sup>۲</sup> دانشجوی دکترا، گروه فیزیک هسته‌ای، دانشکده علوم پایه، دانشگاه مازندران، بابلسر، مازندران، ایران.  
maj\_121@yahoo.com

<sup>۳</sup> استاد، گروه فیزیک هسته‌ای، دانشکده علوم پایه، دانشگاه مازندران، بابلسر، مازندران، ایران.  
m.mahdavi@umz.ac.ir

<sup>۴</sup> استاد، مرکز تحقیقات فیزیک پلاسمای دانشگاه آزاد اسلامی، واحد علوم و تحقیقات تهران، تهران، ایران.  
ghoranneviss@gamil.com

<sup>۵</sup> استادیار، مرکز تحقیقات فیزیک پلاسمای دانشگاه آزاد اسلامی، واحد علوم و تحقیقات تهران، تهران، ایران.  
s.meshkani@gmail.com

بر داده‌های تجربی، پهنهای مؤثر خط بینابی کربن تعیین شده و سپس میزان پهنه‌شدنگی دوپلری آن و در نتیجه دمای ناخالصی یونی کربن محاسبه شده است. دمای یون کربن CIII حدود  $18/1 \pm 0/6$  الکترونولت به دست آمده است. دمای ناخالصی اندازه‌گیری شده با نتایج حاصل از توکامک‌های ISTTOK و COMPASS مقایسه و تأیید شد.

**واژگان کلیدی:** بینابسننجی غیرفعال، پهنه‌شدنگی، دمای یونی، توکامک، ناخالصی.

## ۱. مقدمه

لازم‌آمده امکان‌پذیری همچوشهای گرم‌اهسته‌ای غلبه بر سد پتانسیل کولنی، ذرات شرکت‌کننده در واکنش‌های هسته‌ای با انرژی جنبشی کافی (دمای بالا) و چگالی زیاد (افزایش احتمال برخورد) و زمان محصورسازی طولانی است، که معیار لاوسون نامیده می‌شود. برای رسیدن به این شرایط، مهمترین و حیاتی ترین وظیفه هر سیستم همچوشهای، پایدار نگه داشتن پلاسماست. محصورساز مغناطیسی چبره‌ای - توکامک - باعث پایداری آن می‌شود. در محصورسازی مغناطیسی (MCF) سعی می‌شود به کمک میدان‌های مغناطیسی پلاسما را در چگالی‌های کم و دمای بسیار بالا برای زمان نسبتاً طولانی محصور کنند.

غالباً توکامک‌ها را در دو گروه توکامک‌های بزرگ و کوچک طبقه‌بندی می‌کنند. هدف از به کارگیری توکامک‌های بزرگ همچون: توکامک‌های JET [۱]، JT-60U [۲]، و TFTR [۳]، مطالعه رفتار پلاسماهای در مقیاس بزرگ و پارامترهای مختلف آن جهت دستیابی به شرایط مورد نیاز برای همچوشهای است. شرایط انجام این گونه آزمایش‌ها بسیار دشوار و پرهزینه است. به همین منظور، از توکامک‌های کوچکی همچون: COMPASS [۴] و CASTOR [۵] و ISTTOK [۶] استفاده می‌شود. توکامک‌های کوچک این امکان را می‌دهند تا بتوان ایده‌های جدید را آزمایش کرد و به نتایجی دست یافت که امکان انجام آن‌ها توسط توکامک‌های بزرگ بسیار دشوار و پرهزینه است. توکامک IR-T1 یکی از این توکامک‌های کوچک است که در زمینه انجام این گونه آزمایش‌ها فعال است. این توکامک تحقیقاتی با پلاسمای هیدروژنی (غیرتریتیومی) با سطح مقطع مخزن دایره‌ای است که در سال ۱۳۷۲ ه.ش. در دانشگاه آزاد اسلامی، واحد علوم و تحقیقات تهران نصب و راهاندازی شد [۷].

در طول مدت تخلیه‌های الکتریکی، بر اثر برهمکنش میان لب پلاسما و دیواره و لیمیترها، برخی ناخالصی‌ها تولید شده است و به درون آن نفوذ می‌کند. ناخالصی‌ها اساساً ذرات یونی

غیرسوختی درون پلاسما هستند. ناخالصی‌های ناخواسته سبب رقیق شدن پلاسما، اتلاف انرژی به شکل تابش گسیلی، اختلال در عملکرد آن‌ها و حتی باعث گسیختگی پلاسما می‌شوند. در مدهای مختلف عملیاتی توکامک، توازن انرژی پلاسما غالباً توسط تابش‌های گسیلی از ناخالصی‌های یونی اداره و تنظیم می‌شود. همچنین احتمال وقوع هر واکنش هسته‌ای میان دو ذره نسبت به سطح مقطع برخورد آن تعریف می‌شود، که به چگالی و انرژی (دما) ذرات محیط واکنش وابسته است. در فرایندهای همجوشی گرم‌هسته‌ای، سطح مقطع برخورددها،تابع پارامترهای همچون دما و فشار ناجه‌ای پلاسما و چگالی آن است. بنابراین، دانستن مقدار دقیق‌تر این پارامترها در تعیین احتمال وقوع فرایند اهمیت بسزایی دارد. با وجود این، اندازه‌گیری و تجزیه و تحلیل تابش گسیلی از ناخالصی‌های موجود در پلاسما (بیناب‌سنجدی ناخالصی) از اهمیت ویژه‌ای برخوردار است [۱۰-۸]. مطالعه ناخالصی‌های یونی می‌تواند به بررسی دقیق‌تر رفتار پلاسما و تعیین پارامترهای مختلف آن بیانجامد.

کربن یکی از ناخالصی‌های موجود درون پلاسمای توکامک IR-T1 است که از طریق نفوذ گاز CO<sub>2</sub> هوا، ترکیبات کربن دار مورد استفاده در پمپ‌های تخلیه، از طریق برهمکنش الکترون‌های فرار با دیواره مخزن و لیمیترهای فولادی یا پروب‌های تشخیصی به درون پلاسما وارد می‌شود. محاسبات انجام‌شده برای تعیین دمای یونی بر اساس اندازه‌گیری‌های خطوط بینابی کربن امکان‌پذیر است. زیرا فرم سه‌گانه خطوط آن مستقیماً در دمای یونی تأثیرگذار است [۵]. بهره‌وری کوانتمی توری پراش بیناب‌سنجد برای این طول موج حدود ۴۰ تا ۷۰ درصد است [۱۱].

بیناب‌سنجدی غیرفعال پلاسما، به عنوان یک ابزار تشخیصی غیرتهابجمی است که به طور گسترده‌ای در همجوشی گرم‌هسته‌ای استفاده می‌شود. بررسی بیناب‌سنجدی مواد تشکیل‌دهنده پلاسما مانند چگالی و دما و توزیع مکانی ناخالصی‌های یونی می‌تواند به طور جدی در شرایط تخلیه الکتریکی توکامک تأثیرگذارد. حتی مقدار ناچیزی از ناخالصی می‌تواند در اتلاف انرژی به شکل تابش گسیلی انرژی مؤثر باشد.

شیوه بیناب‌سنجدی غیرفعال با نور مرئی، نوعی بیناب‌سنجدی با توان تفکیک عالی جهت بررسی خطوط بینابی و شناسایی ناخالصی‌های یونی درون پلاسما استفاده می‌شود. این ابزار اخیراً جهت مطالعات ناخالصی‌های یونی در توکامک IR-T1 نصب شده است. با اعمال برازش و بهنجارش بر هر خط بینابی می‌توان اثر هر داده را تعیین و پهنه‌ای مؤثر FWHM<sup>۱</sup> [۱۲] آن را محاسبه کرد. سپس با محاسبه پهن شدگی دوپلری خطوط بینابی گسیلی کربن، امکان برآورد دمای یونی درون پلاسما

<sup>۱</sup> Full Width at Half of Maximum

را فراهم ساخت. طول مدت پرتوگیری از ۱۰ میکرو ثانیه تا ۱۰ دقیقه تغییرپذیر است. پهنهای مؤثر یا پهنا در نصف بیشینه مقدار، کمیتی است که بیانگر میزان پهن شدگی یک تابع بوده و در سیستم‌های مختلف از جمله پارامترهای دستگاه‌های آنالیزی که نتایج آن‌ها به شکل بیناب باشد، کاربرد دارد. این کمیت همچنین نشاندهنده اختلاف میان دو مقدار متغیر مستقل مانند طول موج است وقتی که متغیر وابسته‌ای مانند شدت نسبی تابش گسیلی نصف مقدار بیشینه خود را داشته باشد. در این مقاله، ابتدا بخش نظری پژوهش ارائه می‌شود. سپس دستگاه‌های به کار گرفته را معرفی می‌کنیم. در بخش سوم، شیوه انجام پژوهش و نحوه کالیبره کردن سیستم بیناب‌سنجدی و تجزیه و تحلیل اطلاعات به دست آمده بیان می‌شود. در بخش نهائی جمع‌بندی ارائه می‌شود.

## ۲. مبانی نظری تحقیق

ترکیب پلاسما تأثیر مستقیم در سازوکارهای عملکردی آن و شرایط تخلیه الکتریکی دارد. به همین دلیل تشخیص کامل ذرات تشکیل‌دهنده پلاسما همراه با ناخالصی‌های یونی آن از اهمیت بسزایی برخوردار است. از این‌رو، پارامترهایی مانند دمای یون و چگالی هیدروژن را می‌توان با تجزیه و تحلیل اطلاعات حاصل از پهن شدگی عناصر به دست آورد.

دو پروفایل اساسی پیکره یک خط بینابی توسط تابع‌های توزیع گاووسی و لورنتزی معرفی می‌شود، بنابراین شکل هر خط بینابی ناشی از تأثیر این دو سازوکار مختلف گاووسی (مانند پهن شدگی‌های تجهیزات و دوپلری) یا لورنتزی (مانند پهن شدگی‌های طبیعی، فشار، استارک) در پهن شدگی هر خط بینابی است. در سیستم‌های تشخیصی پلاسما، تکنیک پهن شدگی دوپلری اغلب مفیدترین است. درخور ذکر است که در این مطالعه، فنون پهن شدگی، یعنی طبیعی، وان دروالس، تشدیدی، استارک و زیمان، به دلیل تأثیرات بسیار کم آن‌ها در پهن شدگی خط بینابی نادیده گرفته شده است [۱۳-۱۵]. حرکت کاتورهای و نامنظم ذرات در پلاسما وابسته به دما به پهن شدگی دوپلری می‌انجامد [۱۶] که از رابطه زیر قابل محاسبه است،

$$\Delta\lambda_{1/2}^D(nm) = \frac{2\lambda_0(nm)}{c} \sqrt{\frac{2\ln 2 kT_i(eV)}{m_i(a.m.u)}} \quad (1)$$

در این‌جا،  $T_i$  بیانگر دمای ناخالصی یونی و  $m_i$  واحد جرم اتمی ذره ناخالصی است. در بیناب‌سنجدی، پهن شدگی تجهیزات به عوامل مختلفی از جمله عرض شکاف ورودی، درجه تفکیک و پهن شدگی طبیعی خط بیناب به کار رفته بستگی دارد. پروفایل پهن شدگی تجهیزات تابع توزیع آماری گاووسی است. برای محاسبه مقدار پهن شدگی تجهیزات می‌توان از رابطه زیر استفاده کرد [۱۷، ۱۸]

$$\Delta \lambda_{1/2}^{inst} = W \times \frac{d}{f \times m} \quad (2)$$

برای توری‌های پراش با  $1800$  (شیار در میلیمتر)،  $f$ ، فاصله کانونی  $75$  میلی‌متر،  $W$ ، عرض شکاف  $5$  میکروم و زاویه پراش کمتر از  $20$  درجه، میزان پهن شدن تجهیزات برابر  $0.037$  نانومتر است. در آشکارساز  $CCD$  که در نقطه کانونی پرتوهای خروجی قرار دارد، آرایه‌ای از آشکارسازهای نیمرسانا قرار دارد. هر پیکسل که جداگانه به عنوان یک آشکارساز کوچک عمل می‌کند، یک تیزک استخراجی را نشان می‌دهد.

رابطه اساسی ساختار خط بینابی مشاهده شده با توابع گاوسی (پهن شدن تجهیزات) به صورت زیر بیان می‌شود [۱۹]،

$$(3)$$

$$(DI_{1/2}^{meas})^2 = (DI_{1/2}^D)^2 + (DI_{1/2}^{inst})^2$$

که در آن،  $DI_{1/2}^{meas}$  پهنه‌ای مؤثر خط بینابی و  $DI_{1/2}^D$  پهنه‌ای مؤثر پهن شدن تجهیزات است.

### ۳. چیدمان تجربی

#### الف. توکامک IR-T1

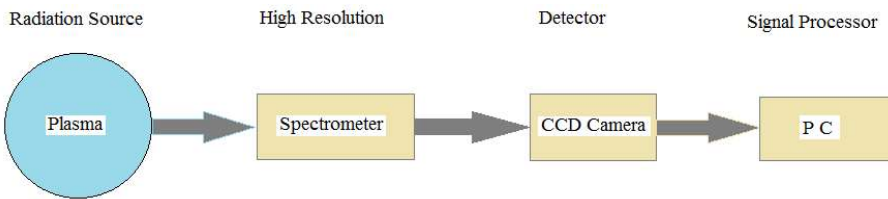
هدف اصلی از مطالعه رفتار پلاسمای پارامترهای وابسته به آن، شناسایی شرایط مناسب جهت تولید انرژی با استفاده از واکنش‌های هسته‌ای است. توکامک IR-T1، یک توکامک تحقیقاتی کوچک هیدروژنی است که دیواره داخلی مخزن توکامک و لیمیترها از جنس فولاد زنگ‌زنن است. در طول مدت تخلیه‌های الکتریکی، بر اثر برهمکنش میان لب پلاسمای دیواره و لیمیترها، برخی ناخالصی‌ها تولید می‌شود و به درون پلاسمای نفوذ می‌کند. مشخصات اصلی این توکامک در جدول ۱ آورده شده است.

جدول ۱ مشخصات اصلی این توکامک IR-T1 [۷, ۲۰].

Major radius	45 cm
Minor radius	12.5 cm
Plasma current	<30 kA
Toroidal magnetic field	<1.0 T
Pulse length	<35 ms
Pressure	$2\text{-}3 \times 10^{-5}$ Torr
Edge electron temperature	$\leq 20 eV$
Core electron temperature	$\leq 200 eV$

### ب. دستگاه بیناب‌سنج

بیناب‌سنج به کار رفته در این آزمایش‌ها، یک بیناب‌سنج دو کاناله با نور مرئی مدل AvaSpec با بازه ۱۱۰۰–۲۰۰ نانومتر و آرایه اپتیکی Czerny-Turner VD-1800Lines/nm و توری پراش ۳۶۴۸ عدد پیکسل است. آشکار ساز CCD مدل TOSHIBA TCD 1304، ۸<sup>°</sup> ۲۰۰nm با دارای آرایه‌ای خطی از دیودهای نوری از جنس سیلیکون است، که برای دریافت اطلاعات توسط یک فیبر نوری به طول ۲ متر و قطر ۱۰۰۰ میکرون به دریچه افقی دستگاه توکامک مرتبط می‌شود. یک دیافراگم شمارشی (F=7.1)، زمان جمع شدن پرتوهای نور توسط آشکار ساز را تنظیم می‌کند. در آشکار سازهای CCD از برخورد فوتون‌های گسیلی به سطح جدائی دیودها، جریان الکتریکی ایجاد می‌شود، به عبارت دیگر فوتون‌های نوری به سیگنال‌های الکتریکی تبدیل می‌شوند. سپس این سیگنال‌ها با انتقال به حافظه میانی و سپس به رایانه، پردازش و ثبت می‌شوند. طرح وارهای از سیستم بیناب‌سنجی در شکل ۱ و برخی اطلاعات فنی آن در جدول ۱ آورده شده است.



شکل ۱ طرحی از سیستم تشخیصی بیناب‌سنجی در توکامک IR-T1

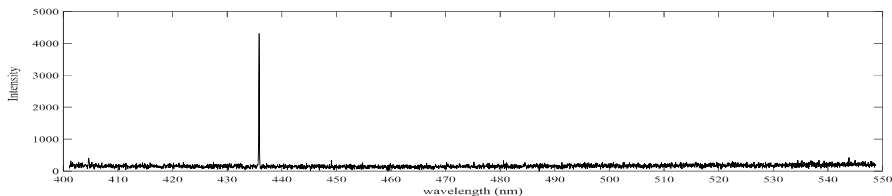
جدول ۲ پارامترهای اصلی بیناب‌سنج با توان تفکیک عالی بیناب‌سنج ULS-AvaSpec-IR-T1.[۱۱]

Entrance slit width*	5µm(Slit-5-RS)
Grating	VD-1800 Lines/nm
Integration time	10µs - 10minutes
Detector	CCD Line array,3648Pixels
Sensitivity	16000 counts/ µW per ms integration time
Quantum efficiency	40% - 70%
Instrumental broadening	0,037nm

در فرآیند اندازه‌گیری‌ها، برای تعیین طول موج خطوط بینابی مختلف و نیز جلوگیری از وقوع پدیده جابه‌جایی دوپلری، امتداد خط دید بر هر دو میدان مغناطیسی چنبره‌ای و قطبی عمود است. از این رو، مخروط امتداد خط دید درون پلاسمای توکامک بسیار باریک بوده و زاویه رأس مخروط کمتر از یک درجه است.[۲۱]

#### ۴. نتایج و بحث

به منظور کالیبره کردن سیستم بیناب سنج و تعیین دقت آن ضمن اندازه گیری طول موج خطوط مختلف بینابی، از لیزر زنون استفاده شده است. نتیجه کالیبراسیون نشان می‌دهد که طول موج اندازه گیری شده برابر  $439,318$  نانومتر بوده و اختلافی برابر  $(0.02\text{-}0.04)$  نانومتر با مقدار استاندارد آن دارد، که بیانگر همپوشانی مناسب مقدار اندازه گیری شده با مقدار معیار آن است (شکل ۲).



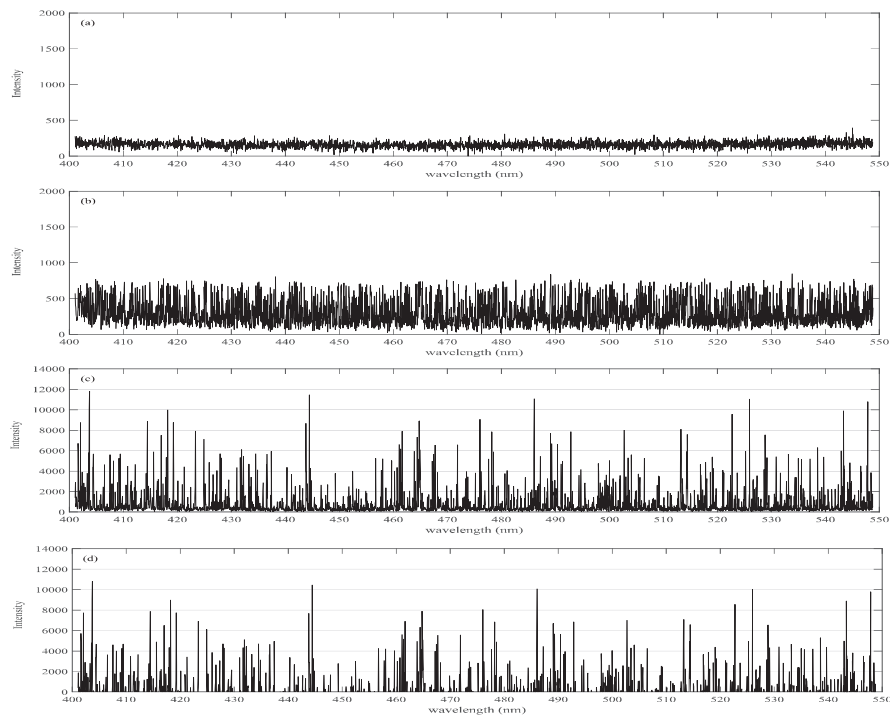
شکل ۲ بیناب ثبت شده از دریچه افقی دستگاه توکامک توسط بیناب سنج با استفاده از لیزر زنون.

برای کالیبراسیون شدت نسبی خطوط بینابی، ابتدا میزان نوافه محیطی و نوافه بخش اپتیکی بیناب سنج اندازه گیری می‌شود. سپس با حذف نوافه‌ها از اندازه گیری‌های بینابی به دست آمده، بیناب حاصل جهت بحث و بررسی آمده می‌شود. این تأثیرات به وضوح در شکل‌های (a-d) نشان داده شده است. اندازه گیری‌ها نشان می‌دهد نوافه ایجاد شده هنگام تخلیه الکتریکی به طور متوسط پنج برابر نوافه داخلی سیستم است. برای جلوگیری از اثرات مخرب امواج الکترومغناطیس گسیلی از پلاسمای مانند اشعه ایکس در هنگام تخلیه الکتریکی و نیز میدان مغناطیسی قوی ناشی از عبور جریان از سیم پیچ‌های مختلف بر قطعات اپتیکی و الکترونیکی بیناب سنج، دستگاه درون یک حفاظت سربی قرار داده می‌شود. این کار سبب حذف نوافه و در نتیجه شناسایی دقیق تر ناخالصی‌های موجود در پلاسمای می‌شود.

مطالعات آزمایشگاهی پلاسمای هیدروژنی توکامک IR-T1 در شرایط مختلف و تحت فشار بسیار کم ( $10^{-5}$  Torr) انجام می‌گیرد. بررسی‌ها نشان می‌دهد که با مطالعه نتایج، شرایط مناسب جهت تولید یک پلاسمای پایدار را می‌توان شناسایی کرد. برای نیل به این منظور، حضور ناخالصی‌ها در پلاسما ممکن است بسیار سودمند باشد. خطوط بینابی ناشی از ناخالصی‌ها مختلف دارای گسیل قوی تر و گذار الکترونی آن‌ها شناسایی می‌شوند. سپس با اعمال برازش و بهنجارش روی هر خط بینابی، پهنه‌ای مؤثر آن تعیین و با انجام محاسبات لازم، دمای ناخالصی درون پلاسمای توکامک تعیین می‌شود. بدین منظور از کربن‌های CII و CIII و CI استفاده کردند. اندازه گیری‌های خطوط بینابی گسیلی و میزان پهن شدگی‌ها نیازمند دستگاه بیناب سنجی

## ۷۸ / اندازه‌گیری دمای یونی کربن درون پلاسمای توکامک IR-T1 با استفاده از بیناب‌سنجی غیرفعال

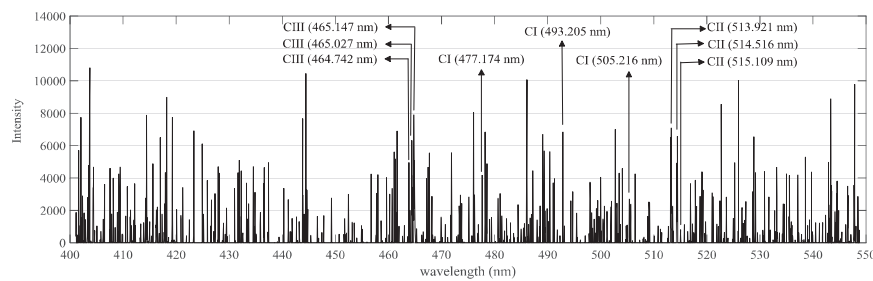
با توان تفکیک بالا حدود ۰/۰۰۱ نانومتر است. اطلاعات حاصل از بیناب‌سنجی در شکل ۴ و ناخالصی‌های یونی کربن شناسایی شده همراه با گذار الکترونی آن‌ها در جدول ۳ ارائه شده است. با استفاده از روابط ارائه شده در بخش‌های قبلی و پهن شدگی دوبلری دمای کربن محاسبه شده است. فرم سه‌گانه خطوط آن مستقیماً در دمای یونی تأثیرگذار است. بهره کوانتومی توری پراش بیناب‌سنج برای این طول موج حدود ۷۰-۴۰ درصد است. فرایند بیناب‌ستجی در طول مدت زمان تخلیه الکتریکی پلاسما، به طور کامل انجام شده است.



شکل ۳ بیناب به دست آمده از دریچه افقی توکامک IR-T1 توسط بیناب‌سنج (a) تحت شرایط (a) با دریچه ورودی نور بسته، (b) بدون پلاسما، (c) با پلاسما و بدون حفاظت سری، (d) با پلاسما به همراه حفاظت سری در توکامک IR-T1

## جدول ۳. ناخالصی‌های یونی کربن شناسایی شده در بیناب به دست آمده از پلاسمای توکامک IR-T1

ناخالصی یونی کربن	گذار الکترونی	طول موج (nm)
C I	$2s^2 2p 3s^1 P^0 \rightarrow 2s^2 2p 4p ^3S$	۴۳۷, ۲۱۶, ۵۳۸, ۵۰۵, ۴۹۳, ۰۲۵, ۴۷۷, ۱۷۴
C II	$2s^2 2p (^3P^0) 3s \rightarrow 2s^2 2p (^3P^0) 3p$	۵۱۶, ۵۱۴, ۵۱۳, ۹۲۱, ۵۱۵, ۱۰۹
C III	$1s^2 2p 3p P^0 \rightarrow 1s^2 2s 3p ^3S$	۴۶۵, ۱۴۷, ۴۶۵, ۰۲۵, ۴۶۴, ۷۴۲



شکل ۴ بیناب ثبت شده به وسیله بیناب سنج Ava Spec-spectrometer در طول مدت تخلیه الکتریکی و بعد از حفاظت گذاری سربی در توکامک IR-T1

در توکامک IR-T1 تحت شرایط جریان پلوئیدال پلاسمای  $18\text{ kA}$ ، میدان مغناطیسی  $-0,9,0,6,1,5 \times 10^{-19}$  در مترمکعب، میزان پهن شدگی خط بینابی کربن CI برابر  $0,006,0,042 \pm 0,051 \pm 0,058$  نانومتر، کربن CII برابر  $0,009 \pm 0,013$  نانومتر و کربن CIII برابر  $0,009 \pm 0,011$  نانومتر تعیین شده است. بر اساس محاسبات انجام یافته، دمای کربن CI حدود  $18,1 \pm 0,6$  الکترونولت به دست الکترونولت، CII حدود  $9,3 \pm 0,1$  الکترونولت و CIII حدود  $1,1 \pm 0,1$  الکترونولت به دست آمده است. در آزمایش های دیگران، دمای کربن CIII در توکامک CAMPASS با جریان پلوئیدال پلاسمای  $400\text{ kA}$  و میدان مغناطیسی  $7,9 \times 10^{-1,5,6} \text{ در مترمکعب}$ ، حدود  $35,30$  الکترونولت [۴] و در توکامک ISTTOK با جریان پلوئیدال پلاسمای  $7\text{ kA}$ ، میدان مغناطیسی  $2,8$  تسلو و چگالی الکترونی  $10^{-1,5} \times 10^{-5}$  در مترمکعب، حدود  $32,6 \pm 5,3$  الکترونولت به دست آمده است [۵]. این توکامک ها از نوع توکامک های کوچک با سطح مقطع دایره ای با پلاسمای گرم هستند. چگالی الکترونی آنها مشابه یکدیگر، اما میدان مغناطیسی در دو توکامک دیگر بزرگ تر از میدان مغناطیسی در توکامک IR-T1 است. به نظر می رسد میدان های مغناطیسی علاوه بر محصور سازی، در مقدار جریان پلاسما و در نتیجه در تحرک کاتورهای الکترون ها و یون های هیدروژن و ناخالصی ها مؤثر باشد. به همین علت، میزان پهن شدگی خط های بینابی و در نتیجه دمای ذرات ناخالصی در گزارش ارائه شده به توکامک IR-T1 مطالعه شده، بیش تر است. همچنین، حضور ناخالصی کربن با دمایها و درجه های یونش کمتر (CI و CII) در توکامک IR-T1، نشان دهنده دمای کمتر پلاسما در لب آن است و ذرات کربن CIII باید در نزدیکی هسته پلاسما یافت شوند.

## ۵. نتیجه‌گیری

در این تحقیق اندازه‌گیری‌های دمای ناخالصی یونی با استفاده از اطلاعات حاصل از طریق دریچه افقی توکامک IR-T1 توسط یک بیناب‌سنجد نور مرئی با توان تفکیک عالی با موفقیت انجام گرفت. این بیناب‌سنجد به تازگی بر روی توکامک نصب شده است و بیناب گسیلی از پلاسما توسط بیناب‌سنجد در محدوده ۴۰۰-۵۵۰ نانومتر قابل تشخیص است. هدف از این تحقیق، مطالعه ناخالصی‌های یونی موجود در پلاسمای توکامک جهت بررسی دقیق‌تر رفتار پلاسما و تعیین پارامترهای آن و نیز ارتقاء عملکرد توکامک است. دانستن مقدار دقیق پارامترهایی همچون دمای ناحیه پلاسما و فشار در آن ناحیه و نیز چگالی پلاسما در تعیین احتمال وقوع واکنش همجوشی گرماهسته‌ای (سطح مقطع برخورد) اهمیت اساسی دارد. بدین منظور از یون‌های کربن CII و CI و CIII استفاده کردیم، تا بتوانیم نتایجمان را با نتایج به دست آمده از توکامک‌های کوچک مشابه همچون ISTTOK و COMPASS مقایسه کنیم. نتایج نشان دادند که دمای ناخالصی کربن CIII حدود ۱۸ الکترون‌ولت است. در نهایت، از مقایسه نتایج با نتایج گزارش شده از توکامک‌های مشابه، صحت و دقت آن‌ها تأیید شد.

## قدروانی

این تحقیق را گروه فیزیک دانشگاه مازندران و مرکز تحقیقات فیزیک پلاسمای دانشگاه آزاد اسلامی واحد علوم و تحقیقات تهران حمایت کرده‌اند.

## منابع

- [1] Zastrow, K. D., J. M. Adams, Yu Baranov, P. Belo, L. Bertalot, Jerzy H. Brzozowski, C. D. Challis et al. "Tritium transport experiments on the JET tokamak." *Plasma physics and controlled fusion* 46, no. 12B (2004).
- [2] Koubiti, M., T. Nakano, L. Godbert-Mouret, Yannick Marandet, J. Rosato, and R. Stamm, "Diagnostics of JT-60U divertor plasmas by Stark-Doppler broadening of carbon spectral lines." *Journal of Nuclear Materials* 415, no. 1 (2011).
- [3] Zweben, S. J., and S. S. Medley. "Visible imaging of edge fluctuations in the TFTR oka-mak." *Physics of Fluids B: Plasma Physics* 1, no. 10 (1989).
- [4] Naydenkova, D. I., J. Stöckel, V. Weinzettl, D. Šesták, and J. Havlicek. "Spectroscopic measurements on the COMPASS tokamak." *WDS'12 Proceedings of Contributed Papers Part II—Physics of Plasmas and Ionized Media* (2012).
- [5] Gomes, R. B., C. A. F. Varandas, J. A. C. Cabral, E. Sokolova, and S. Reyes Cortes. "High dispersion spectrometer for time resolved Doppler measurements of impurity lines emitted during ISTTOK tokamak discharges." *Review of Scientific Instruments* 74, no. 3 (2003): 2071-2074.
- [6] Weinzettl, V., I. Ďuran, J. Zajac, and V. Piffl. "Edge plasma biasing experiments on the CASTOR tokamak: spectroscopic investigation and microwave measurements." *Czechoslovak journal of physics* 53, no. 10 (2003).

- [7] Paknezhad, A., M. Ghoranneviss, R. Arvin, and S. Mohammadi. "Approaches on Measurements of the Shafranov Parameter and Plasma Displacement in Tokamaks." *Journal of Nuclear and Particle Physics* 3, no. 4 (2013).
- [8] Naydenkova, D. I., F. Janky, V. Weinzettl, J. Stockel, D. Sestak, T. Odstrcil, J. Ghosh, R. Gomes, and T. Pereira. "Measurements of ion temperature in the edge plasma of the COMPASS tokamak." In *WDS*, vol. 11, pp. 233-236 (2011).
- [9] Ghorashi, S., and Mahdavi, M. "Broadening effects on opacity calculation of CH plasmas." *Physics of Plasmas* 24, no. 2 (2017).
- [10] Gomes, R. B., C. A. F. Varandas, J. A. C. Cabral, E. Sokolova, and S. Reyes Cortes. "High dispersion spectrometer for time resolved Doppler measurements of impurity lines emitted during ISTTOK tokamak discharges." *Review of Scientific Instruments* 74, no. 3 (2003).
- [11] Avantes Enlightening Spectroscopy. The Netherlands, Europe, <http://www.avantes.com> (2015).
- [12] Fantz, U. "Basics of plasma spectroscopy." *Plasma sources science and technology* 15, no. 4 (2006).
- [13] Kunze HJ. "Introduction to plasma spectroscopy." Springer Series on Atomic, Optical, and Plasma Physics; ISBN 978-3-642-02233-3; Springer Heidelberg Dordrecht London New York, p.128-133 (2009 Sep 18).
- [14] Hutchinson, IH. "Principles of Plasma Diagnostics, second edition." New York: Cambridge University Press, p.109 (2002).
- [15] Vidal CR, Cooper J, Smith EW. "Hydrogen Stark-broadening tables." *The Astrophysical Journal Supplement Series*; 25:37 (1973 Jan).
- [16] Kamio S, Cao Q, Abe K, Sakumura M, Suzuki N, Watanabe TG, Ishiguchi K, Imazawa R, Yamada T, Inomoto M, Takase Y. "Multipoint spectroscopy measurement of spherical tokamak heating by magnetic reconnection in UTST." *Plasma and Fusion Research*;6:2402033 (2011 Jul 12).
- [17] Scherrer P. "Estimation of the size and internal structure of colloidal particles by means of röntgen." *Nachr. Ges. Wiss. Göttingen*; 2:96-100(1918).
- [18] Lerner, J. M., and A. Thevenon. "The optics of spectroscopy." Jobin-Yvon Optical Systems/Instrumentss SA (1988).
- [19] Daltrini, A. M., M. Machida, and M. J. R. Monteiro. "Vacuum ultraviolet and visible spectroscopy diagnostics on the NOVA-UNICAMP tokamak." *Brazilian journal of physics* 31, no. 3: 496-501 (2001).
- [20] Khorshid, P., Ghoranneviss, M., Razavi, M., Saboohi, S., Mollai, M., Hojabri, A., Mohammadi, S. "Overview of Experimental Studies on IR-T1 Tokamak." No. INIS-XA-08N0893, (2008).
- [21] Menmuir, S., " Visible spectroscopic diagnostics: Application and development in fusion plasmas", PHD Thesis, Albanova University Center, KTH. Roslagstullsbacken 21: S-106 91 Stockholm: Sweden, p;18(2007).